

بِسْمِ اللّٰهِ الرَّحْمٰنِ الرَّحِيْمِ



دانشگاه صنعتی اصفهان

دانشکده عمران

## بررسی آزمایشگاهی آب شستگی پایین دست سازه‌ی حذف پوش هیدرولیکی

پایان نامه کارشناسی ارشد مهندسی عمران

سازه‌های هیدرولیکی

زهره فخاری

استاد راهنمای

دکتر عبدالرضا کبیری سامانی

زمستان

۱۳۹۳



دانشگاه صنعتی اصفهان

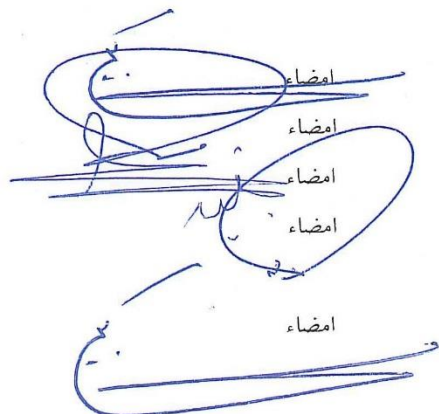
دانشکده مهندسی عمران

پایان نامه‌ی کارشناسی ارشد رشته‌ی مهندسی عمران- سازه‌های هیدرولیکی  
خانم زهره فخاری

تحت عنوان

بورسی آزمایشگاهی آب شستگی در پایین دست سازه‌ی حذف پوش هیدرولیکی

در تاریخ ۱۳۹۳/۱۰/۲۷ توسط کمیته‌ی تخصصی زیر مورد بررسی و تصویب نهایی قرار گرفت.



دکتر عبدالرضا کبیری سامانی

دکتر محمد رضا چمنی

دکتر عاطفه پرورش ریزی

دکتر محمد نوید مقیم

۱- استاد راهنمای پایان نامه

۲- استاد مشاور پایان نامه

۳- استاد داور

۴- استاد داور

دکتر عبدالرضا کبیری سامانی

سرپرست تحصیلات تکمیلی دانشکده

سپاس پروردگارم را که سرفرازانه پایان داد این نامه را ...

برگ حاضر از این نامه را مغتنم شمرده، از تمامی یاورانم قدردانی می‌نمایم.  
دستان مادرم و پدرم را به پاس هر آنچه که هستم می‌بوسم، می‌شارم دستان خواهر و برادرم را و یاری‌هاى بى دریغشان را به یاد می‌آورم.

سپاس فراوان می‌گوییم استاد دلسوز را، به ویژه استاد راهنمایم جناب آقای دکتر کبیری و استاد مشاورم جناب آقای دکتر چمنی که مشوقانه راهنمای راهگشاییم بودند و بى دریغ حمایتم کردند.  
از استاد محترم، خانم دکتر پرورش و همچنین جناب آقای دکتر مقیم که با بازخوانی این پایاننامه نکات ارزشمندی را یادآور شدند، سپاسگزارم.  
از مساعدت‌های آقای مهندس براتی و همیاری دوست عزیزم خانم مهندس منعمیان صمیمانه تشکر می‌کنم.

کلیهی حقوق مادی مترتب بر نتایج مطالعات،  
ابتكارات و نوآوری‌های ناشی از تحقیق موضوع این  
پایان‌نامه (رساله) متعلق به دانشگاه صنعتی اصفهان  
است.

تقدیم به پرو مادرم

که از نگاهشان صلابت

از رفاقتان محبت

و از صبرشان ایستادگی را آموختم.

## فهرست مطالب

صفحه	عنوان
هشت	فهرست مطالب
۱	چکیده
	فصل اول
۲	۱-۱ مقدمه
۳	۲-۱ آب شستگی
۴	۱-۲-۱ انواع آب شستگی
۵	۲-۲-۱ آب شستگی در جریان های فوق بحرانی و آشفته
۶	۳-۱ پرش هیدرولیکی
۷	۱-۳-۱ کاربردهای پرش هیدرولیکی
۸	۲-۳-۱ معایب پرش هیدرولیکی
۹	۴-۱ سازه های تبدیل رژیم فوق بحرانی به زیر بحرانی بدون وقوع پرش هیدرولیکی
۱۰	۵-۱ ضرورت انجام و اهداف تحقیق حاضر
۱۰	۶-۱ ساختار پایان نامه
	فصل دوم
۱۱	۱-۲ مقدمه
۱۲	۲-۲ پدیده هی انتقال رسوب
۱۲	۱-۲-۲ اندازه رسوبات
۱۲	۲-۲-۲ توزیع اندازه ذرات
۱۲	۳-۲-۲ سرعت سقوط رسوب
۱۳	۴-۲-۲ آستانه حرکت رسوبات
۱۶	۳-۲ زمان تعادل
۱۷	۴-۲ تاریخچه هی آب شستگی
۱۷	۱-۴-۲ آب شستگی پایین دست سرریزها
۲۰	۲-۴-۲ آب شستگی پایین دست دریچه ها
۲۳	۳-۴-۲ تاریخچه آب شستگی پایین دست حوضچه های آرامش
۲۵	۴-۴-۲ آب شستگی پایین دست جت های غوطه ور
۲۶	۵-۲ تاریخچه هی مطالعاتی سازه هی تبدیل حذف پرش هیدرولیکی
۳۶	۶-۲ جمع بندی فصل و نوآوری پژوهش حاضر
	فصل سوم
۳۷	۱-۳ مقدمه
۳۸	۲-۳ آنالیز ابعادی

۳۹	۳-۳ تجهیزات آزمایشگاهی
۳۹	۱-۳-۳ کanal آزمایشگاهی
۴۱	۲-۳-۳ تجهیزات آزمایش
۴۴	۴-۳ آمده‌سازی شرایط آزمایش‌ها و بستر رسوبی
۴۷	۵-۳ نحوه انجام آزمایش‌ها
۴۸	۶-۳ اندازه‌گیری‌ها
۴۸	۷-۳ آزمایش‌های انجام شده
۴۹	۸-۳ آستانه حرکت
۵۰	۹-۳ جمع‌بندی فصل
	<b>فصل چهارم</b>
۵۱	۱-۴ مقدمه
۵۲	۲-۴ بررسی آب‌شستگی در شرایط حذف پرش هیدرولیکی
۵۲	۱-۲-۴ مشاهدات هیدرولیک جریان
۵۵	۲-۲-۴ مشاهدات آزمایشگاهی آب‌شستگی
۵۹	۳-۲-۴ توسعه زمانی چاله‌ی آب‌شستگی
۶۴	۴-۲-۴ آب‌شستگی در شرایط حذف پرش هیدرولیکی، گسترش آب‌شستگی و تشکیل چاله ثانویه
۶۸	۵-۲-۴ تحلیل نتایج آب‌شستگی در شرایط حذف پرش هیدرولیکی
۷۶	۶-۲-۴ پروفیل‌های طولی آب‌شستگی در حالت تعادل
۷۹	۷-۲-۴ روابط تجربی برآورد حداکثر عمق چاله‌ی آب‌شستگی پایین‌دست سازه‌ی تبدیل
۸۱	۳-۴ بررسی آب‌شستگی در شرایط وقوع پرش هیدرولیکی
۸۱	۱-۳-۴ مشاهدات پرش هیدرولیکی
۸۳	۲-۳-۴ مقایسه و تحلیل نتایج آب‌شستگی در شرایط وقوع پرش هیدرولیکی
۸۷	۴-۴ مقایسه نتایج آب‌شستگی در شرایط حذف پرش هیدرولیکی و مطالعات پیشین
۸۹	۵-۴ جمع‌بندی فصل
	<b>فصل پنجم</b>
۹۱	۱-۵ مقدمه
۹۱	۲-۵ جمع‌بندی تحقیق
۹۲	۳-۵ نتیجه‌گیری‌های کلی
۹۴	۴-۵ پیشنهادها
۹۵	<b>مراجع</b>

## فهرست شکل‌ها

### صفحه

### عنوان

شکل ۱-۱- تغییر مسیر خطوط جریان در اطراف پایه‌ی پل و افزایش آشفتگی	۴
شکل ۱-۲- تغییرات حفره‌ی آب‌شستگی بر حسب زمان، [۵]	۵
شکل ۱-۳- وقوع پرش هیدرولیکی در پایین دست سازه‌های هیدرولیکی	۶
شکل ۱-۴- منحنی‌های عمق جریان در کanal منشوری	۸
شکل ۱-۵- منحنی‌های عمق جریان در کanal غیرمنشوری، [۷]	۹
شکل ۱-۶- وقوع پرش در کanal غیرمنشوری، [۷]	۹
شکل ۱-۷- تداخل منحنی‌های عمق جریان در کanal غیرمنشوری، [۷]	۹
شکل ۱-۸- نمودار آستانه حرکت ذرات رسوب، [۱۴]	۱۵
شکل ۲-۱-(الف) تشابه پروفیل‌های آب‌شستگی بی‌بعد برای ارتفاع‌های مختلف سرریز بسته به نوع مصالح بستر ( $h_d$ ) ارتفاع سرریز است) (ب) تشابه پروفیل‌های آب‌شستگی واپسیه به زمان، [۲۸]	۱۹
شکل ۲-۲- شمایی از آزمایش‌های دی و سرکار، [۲۹]	۲۲
شکل ۲-۳- (الف) بر هم نهی پروفیل‌های آب‌شستگی زمانی بی‌بعد در طول یک آزمایش (ب) بر هم نهی پروفیل‌های آب‌شستگی تعادلی بی‌بعد در آزمایش‌های مختلف، [۲۹]	۲۲
شکل ۲-۴- تغییرات $\hat{d}_s$ با $Fr_d$ برای مقادیر مختلف طول کف‌بند، $y$ و $d_{50}$ ، [۲۹]	۲۳
شکل ۲-۵- شکلی شماتیک از آب‌شستگی پایین دست پله‌ی مثبت واقع در پایین دست سرریز در حالت وقوع پرش هیدرولیکی مستغرق، [۳۰]	۲۳
شکل ۲-۶- توپوگرافی بستر شسته شده، [۳۰]	۲۴
شکل ۲-۷- پروفیل‌های بستر شسته شده در مقطع مجاور دیواره‌ی کanal در مختصات بی‌بعد، [۳۰]	۲۴
شکل ۲-۸- نمایی شماتیک از آزمایش‌های لوینت، [۳۹]	۲۶
شکل ۲-۹- مثال ارائه شده در کتاب چاو، [۶]	۲۷
شکل ۲-۱۰- انواع پروفیل‌های جریان در محدوده‌ی نقطه‌ی تکینه، [۶]	۲۸
شکل ۲-۱۱- توزیع سرعت متوسط در صفحه‌ی میانی قائم کanal، $Fr_1 = ۲/۱۷۲$ , [۷]	۳۰
شکل ۲-۱۲- توزیع سرعت متوسط در صفحه‌ی میانی قائم کanal، $Fr_1 = ۲/۵۵۸$ , [۷]	۳۰
شکل ۲-۱۳- توزیع سرعت متوسط در صفحه‌ی میانی قائم کanal، $Fr_1 = ۲/۵۵۸$ , [۷]	۳۱
شکل ۲-۱۴- خطوط جریان شکل گرفته بعد از تبدیل، $Fr_1 = ۲/۵۵۸$ , [۷]	۳۱
شکل ۲-۱۵- خطوط جریان شکل گرفته بعد از تبدیل، $Fr_1 = ۳/۳۸۴$ , [۷]	۳۱
شکل ۲-۱۶- توزیع ( $U/\sqrt{u'^2}$ ) بعد از سازه‌ی تبدیل، $Fr_1 = ۲/۲۵۱$ , [۷]	۳۲
شکل ۲-۱۷- توزیع ( $U/\sqrt{u'^2}$ ) بعد از سازه‌ی تبدیل، $Fr_1 = ۲/۵۵۸$ , [۷]	۳۲

شکل ۲-۱۸- تغییرات بیشینه‌ی متوسط شدت نوسانات آشفتگی بی بعد شده در جهت طولی بعد از سازه‌ی تبدیل، [۷]	۳۳
شکل ۲-۱۹- توزیع ( $\sqrt{k}/U_1$ ) بعد از سازه‌ی تبدیل، $Fr_1 = ۲/۲۶۴$ [۷]	۳۴
شکل ۲-۲۰- توزیع ( $\sqrt{k}/U_1$ ) بعد از سازه‌ی تبدیل، $Fr_1 = ۲/۵۵۸$ [۷]	۳۴
شکل ۲-۲۱- تغییرات بیشینه‌ی انرژی آشفتگی بی بعد شده، در صفحه‌ی قائم میانی کanal، بعد از سازه‌ی تبدیل، [۷]	۳۴
شکل ۲-۲۲- توزیع ( $-\rho u'v'/U_1^2$ ) بعد از سازه‌ی تبدیل، $Fr_1 = ۲/۴۳۳$ [۷]	۳۵
شکل ۲-۲۳- محدوده‌ی اعداد فرود مناسب جهت حذف پرش هیدرولیکی در تبدیل جریان فوق بحرانی به زیر بحرانی، [۴۰]	۳۵
شکل ۲-۲۴- نمای کلی از کanal تحقیقاتی	۳۹
شکل ۲-۲۵- نمایی از یک دبی سنج الکترو مغناطیسی	۴۰
شکل ۲-۲۶- (الف) مانیتور نمایش دهنده دبی ب) شیر فلکه‌ی تنظیم دبی	۴۰
شکل ۲-۲۷- (الف) دریچه ابتدایی کanal در حالت باز. ب) ورق‌های منحنی هدایت گر جریان ورودی	۴۱
شکل ۲-۲۸- نمای کلی از کالورت	۴۱
شکل ۲-۲۹- سازه‌ی تبدیل حذف پرش هیدرولیکی	۴۲
شکل ۲-۳۰- عمق سنج مورد استفاده (الف) در آزمایش اول ب) در آزمایش‌های بعدی	۴۳
شکل ۲-۳۱- منحنی دانه‌بندی رسوبات بستر	۴۴
شکل ۲-۳۲- نمایی از کالورت، سازه‌ی حذف پرش و بستر رسوبی آماده‌سازی شده	۴۶
شکل ۲-۳۳- شکل شماتیک کanal و تجهیزات ؛ (الف) پلان، ب) نمای جانبی	۴۶
شکل ۲-۳۴- بالا آوردن ارتفاع آب تا ۸۰ میلی‌متر بالاتر از سطح بستر قبل از روشن کردن پمپ	۴۷
شکل ۲-۳۵- شکل شماتیک از عبور جریان از روی سازه‌ی تبدیل	۵۲
شکل ۲-۳۶- سطح آزاد جریان در حذف کامل پرش هیدرولیکی	۵۳
E10- شکل ۲-۳۷- سطوح فوق بحرانی و زیر بحرانی تئوریک شکل گرفته در اثر عبور جریان از روی تبدیل، آزمایش E10	۵۴
E11- شکل ۲-۳۸- سطوح فوق بحرانی و زیر بحرانی تئوریک شکل گرفته بر روی تبدیل، آزمایش E11	۵۴
E12- شکل ۲-۳۹- پروفیل سطح جریان تئوریک شکل گرفته بر روی تبدیل، آزمایش E10	۵۴
E13- شکل ۲-۴۰- سطوح فوق بحرانی و زیر بحرانی تئوریک شکل گرفته در اثر عبور جریان از روی تبدیل، آزمایش E11	۵۵
E14- شکل ۲-۴۱- پروفیل سطح جریان تئوریک شکل گرفته بر روی تبدیل، آزمایش E11	۵۵
E15- شکل ۲-۴۲- شکل شماتیک از تغییرات بستر رسوبی در طول انجام آزمایش (الف) تشکیل چاله‌های متقارن در طرفین بستر در ابتدای آزمایش. (ب) گسترش عرضی چاله	۵۷
E16- شکل ۲-۴۳- تغییرات حداکثر عمق آب شستگی با گذشت زمان در آزمایش E14	۶۰

شکل ۴-۹- تغییرات حداکثر عمق آب شستگی با گذشت زمان در آزمایش های مختلف .....	۶۲
شکل ۴-۱۰- پروفیل های طولی آب شستگی در زمان های مختلف در آزمایش (E2) .....	۶۲
شکل ۴-۱۱- پروفیل های طولی بی بعد آب شستگی در زمان های مختلف در آزمایش (E2) .....	۶۳
شکل ۴-۱۲- پروفیل های طولی آب شستگی در زمان های مختلف در آزمایش (E7) .....	۶۳
شکل ۴-۱۳- پروفیل های طولی بی بعد آب شستگی در زمان های مختلف در آزمایش (E7) .....	۶۳
شکل ۴-۱۴- پروفیل بی بعد آب شستگی در زمان های مختلف در آزمایش (E14) .....	۶۴
شکل ۴-۱۵- پروفیل بی بعد آب شستگی در زمان های مختلف در آزمایش (E14) .....	۶۴
شکل ۴-۱۶- دستگاه مختصات استفاده شده در برداشت نقاط بستر .....	۶۵
شکل ۴-۱۷- توپوگرافی نسبتاً متقارن بستر تعادلی (E14) .....	۶۶
شکل ۴-۱۸- توپوگرافی بستر تعادلی در آزمایش (E5) .....	۶۷
شکل ۴-۱۹- توپوگرافی بستر تعادلی در آزمایش (E6) .....	۶۷
شکل ۴-۲۰- تصویر چاله آب شستگی ثانویه .....	۶۷
شکل ۴-۲۱- تغییرات طول چاله ای آب شستگی بی بعد شده در مقابل سرعت اولیه بی بعد جریان .....	۶۹
شکل ۴-۲۲- تغییرات سرعت جریان پایین دست تبدیل در مقابل سرعت اولیه بی بعد جریان .....	۷۰
شکل ۴-۲۳- تغییرات عمق پایاب بی بعد در مقابل سرعت اولیه بی بعد جریان .....	۷۱
شکل ۴-۲۴- تغییرات حداکثر عمق آب شستگی بی بعد شده در مقابل سرعت اولیه بی بعد جریان .....	۷۱
شکل ۴-۲۵- تغییرات حداکثر طول چاله ای آب شستگی بی بعد در مقابل سرعت اولیه بی بعد جریان .....	۷۲
شکل ۴-۲۶- افزایش آشفتگی محل تغییر رژیم جریان با افزایش عدد فرود اولیه جریان .....	۷۲
شکل ۴-۲۷- تغییرات حداکثر ارتفاع تل ماسه بی بعد شده در مقابل سرعت اولیه بی بعد جریان .....	۷۳
شکل ۴-۲۸- تغییرات حجم رسوب شده بی بعد شده در مقابل سرعت اولیه بی بعد جریان .....	۷۳
شکل ۴-۲۹- تغییرات حداکثر عمق آب شستگی بی بعد در مقابل عدد فرود چگالی ذرات .....	۷۵
شکل ۴-۳۰- تغییرات طول چاله ای آب شستگی بی بعد در مقابل عدد فرود چگالی ذرات .....	۷۵
شکل ۴-۳۱- تغییرات حداکثر ارتفاع تلماسه ای بی بعد شده در مقابل عدد فرود چگالی ذرات .....	۷۶
شکل ۴-۳۲- پروفیل های آب شستگی تعادلی، $B = 0.132/y_1$ برای اعداد فرود مختلف .....	۷۷
شکل ۴-۳۳- پروفیل های آب شستگی تعادلی بی بعد، $B = 0.132/y_1$ در اعداد فرود مختلف .....	۷۷
شکل ۴-۳۴- پروفیل های آب شستگی تعادلی، $B = 0.165/y_1$ در اعداد فرود مختلف .....	۷۷
شکل ۴-۳۵- پروفیل های آب شستگی تعادلی بی بعد، $B = 0.165/y_1$ در اعداد فرود مختلف .....	۷۸
شکل ۴-۳۶- پروفیل های آب شستگی تعادلی، $B = 0.188/y_1$ در اعداد فرود مختلف .....	۷۸
شکل ۴-۳۷- پروفیل های آب شستگی تعادلی بی بعد، $B = 0.188/y_1$ در اعداد فرود مختلف .....	۷۸
شکل ۴-۳۸- پروفیل های آب شستگی تعادلی بی بعد به ازای مقادیر $B/y_1$ و اعداد فرود مختلف .....	۷۹
شکل ۴-۳۹- مقایسه ای مقادیر محاسباتی و آزمایشگاهی حداکثر عمق آب شستگی بی بعد شده .....	۸۰

شکل ۴-۴۰- مقایسه افت انرژی در حالت وقوع و حذف پرش هیدرولیکی ..... .....	۸۲
شکل ۴-۴۱- سطح آب نوسانی در پایین دست سازه حذف پرش هیدرولیکی ..... .....	۸۳
شکل ۴-۴۲- سطح آب یکنواخت در پایین دست پرش هیدرولیکی ..... .....	۸۳
شکل ۴-۴۳- توزیع جذر میانگین مربعات نوسانات سرعت در جهت (الف) طولی و (ب) قائم و (ج) توزیع مقدار انرژی آشفتگی و (د) توزیع تنش برشی رینولدز در پرش هیدرولیکی با عدد فرود اولیه ۱/۱۹ ارائه شده توسط میسرا و همکاران ( $h_0$ ). عمق اولیه جریان است) ..... .....	۸۵
شکل ۴-۴۴- مقایسه توسعه زمانی بی بعد آب شستگی در حالت وقوع و حذف پرش هیدرولیکی ..... .....	۸۶
شکل ۴-۴۵- مقایسه توسعه زمانی بی بعد آب شستگی در حالت وقوع و حذف پرش هیدرولیکی ..... .....	۸۶
شکل ۴-۴۶- توپوگرافی بستر تعادلی در آزمایش E15 در شرایط وقوع پرش هیدرولیکی ..... .....	۸۷
شکل ۴-۴۷- توپوگرافی بستر تعادلی در آزمایش E14 در شرایط حذف پرش هیدرولیکی ..... .....	۸۷
شکل ۴-۴۸- مقایسه حداکثر عمق آب شستگی بی بعد در تحقیق حاضر و دیگر محققان ..... .....	۸۸
شکل ۴-۴۹- مقایسه نتایج تحقیق حاضر و نتایج دی و سرکار [۲۹] ..... .....	۸۸
شکل ۴-۵۰- مقایسه نتایج تحقیق حاضر و نتایج چیو و لیم [۳۸] ..... .....	۸۹

## فهرست جدول‌ها

<u>صفحه</u>	<u>عنوان</u>
۲۹	جدول ۱-۲- مشخصات مدل‌های ساخته شده و مقادیر پارامترهای مربوط به آن‌ها
۳۰	جدول ۲- برداشت‌های انجام شده در آزمایش‌های نادری [۷]
۴۲	جدول ۳-۱- مشخصات طراحی سازه‌ی تبدیل
۴۴	جدول ۳-۲- محاسبات مربوط به انتخاب قطر ذره‌ی رسوب
۴۹	جدول ۳-۳- مشخصات هیدرولیکی آزمایش‌های انجام شده
۵۰	جدول ۳-۴- برآورد تجربی نسبت در برخی از آزمایش‌های تحقیق حاضر
۵۸	جدول ۴-۱- داده‌های مربوط به آزمایش‌های انجام شده در شرایط حذف پرش هیدرولیکی
۸۱	جدول ۴-۲- داده‌های آزمایش‌های انجام شده در شرایط وقوع پرش هیدرولیکی

## فهرست علامت‌ها

علامت	توضیح
$B$	عرض کاتال
$B_0$	ضخامت جت (بازشدگی دریچه‌ی خروج جت)
$d$	قطر ذره رسوب
$d_{16}$	قطر رسوبی که قطر ۱۶ درصد از ذرات رسوب کوچک‌تر از آن است.
$d_{50}$	قطر متوسط ذرات رسوب
$d_{84}$	قطر رسوبی که قطر ۸۴ درصد از ذرات رسوب از آن کوچک‌تر است.
$d_s$	حداکثر عمق آب‌شستگی لحظه‌ای
$d_{se}$	عمق آب‌شستگی در فواصل مکانی مختلف در زمان تعادل چاله
$d_{smax}$	حداکثر عمق آب‌شستگی در زمان تعادل چاله‌ی آب‌شستگی
$d_{st}$	عمق آب‌شستگی در فواصل مختلف زمانی و مکانی
$\hat{d}$	قطر رسوب بی‌بعد
$\hat{d}_s$	حداکثر عمق آب‌شستگی تعادلی بی‌بعد
$d_*$	قطر بی‌بعد ذره
$F_1$	خط متناسب با عمق نرمال
$F_2$	خط فرضی متناسب با عمق بحرانی
$f_i$	نام تابع
$f(x)$	مقادیر اندازه‌گیری شده
$F(x)$	مقادیر تخمینی

## فهرست علامت‌ها

علامت	توضیح
$\bar{f}$	متوسط مقادیر اندازه‌گیری شده
$F_c$	حاصل تقسیم سرعت جریان بر جذر حاصل ضرب وزن مخصوص مستغرق رسوب، شب گرانش زمین و عمق بحرانی
$Fr_I$	عدد فرود اولیه‌ی جریان
$Fr_{Ia}$	عدد فرود اولیه‌ی جریان در طراحی سازه‌ی تبدیل
$Fr_d$	عدد فرود چگالی ذرات
$Fr_j$	عدد فرود اولیه‌ی پرش هیدرولیکی
$G$	نسبت چگالی رسوب به چگالی سیال
$g$	شتاب گرانش زمین
$H_\backslash$	
$H_\forall$	پروفیل سطح آب در بستر با شیب صفر در حدفاصل جریان فوق - بحرانی و بحرانی
$h_0$	هد مؤثر در جریان سرریز
$h_d$	حداکثر ارتفاع تل ماسه
$K$	انرژی جنبشی آشفتگی بی‌بعد
$k$	انرژی جنبشی آشفتگی
$k_m$	بیشینه‌ی انرژی جنبشی آشفتگی
$k_s$	زبری معادل ماسه‌ی نیکورادزه
$L$	حداکثر طول لحظه‌ای چاله‌ی آب‌شستگی
$L_{hd}$	فاصله‌ی محل وقوع حداکثر ارتفاع تل ماسه از انتهای سازه‌ی تبدیل
$L_{hmax}$	فاصله‌ی محل حداکثر ارتفاع سازه‌ی تبدیل از ابتدای سازه‌ی تبدیل

## فهرست علامت‌ها

<u>علامت</u>	<u>توضیح</u>
$L_{opt}$	طول بهینه‌ی سازه‌ی تبدیل
$L_s$	فاصله‌ی حد اکثر عمق لحظه‌ای آب‌شستگی از انتهای سازه‌ی تبدیل
$L_{smax}$	فاصله‌ی حد اکثر عمق چاله‌ی آب‌شستگی تعادلی از انتهای سازه‌ی تبدیل
$L_t$	فاصله‌ی انتهای چاله‌ی آب‌شستگی از انتهای سازه‌ی تبدیل
$L_{td}$	فاصله‌ی انتهای تل ماسه‌ی پایین دست از انتهای سازه‌ی تبدیل
$\hat{l}$	طول کف‌بند بی‌بعد
$Q$	دبي جریان
$Q_c$	دبي جریان در حالت برقراری عمق بحرانی
$Q_n$	دبي جریان در حالت برقراری عمق نرمال
$R_c$	حاصل تقسیم لرجه سینماتیکی سیال بر حاصل ضرب سرعت اولیه‌ی جریان و عمق بحرانی
$R_s$	تش بشی رینولدز
$Re^*$	رینولدز بشی
$s$	ارتفاع آپایه‌ی انتهای حوضچه‌ی آرامش
$S_0$	شیب کف کانال
$t$	زمان
$T_e$	زمان تعادل چاله‌ی آب‌شستگی
$U$	سرعت جریان
$U_l$	سرعت جریان خروجی از کالورت

## فهرست علامت‌ها

### علامت

### توضیح

$U_2$

سرعت جریان در پایین دست سازه‌ی تبدیل

$U_c$

متوسط سرعت جریان در شرایط آستانه حرکت ذرات

$U_{rms}$

متوسط نوسانات آشتفتگی طولی بی‌بعد

$u'$

носانات سرعت در جهت X

$u_*$

سرعت برشی بحرانی

$V$

حجم رسویات شسته شده

$V_{rms}$

متوسط نوسانات آشتفتگی قائم بی‌بعد

$v'$

نوسانات سرعت در جهت Y

$W_{rms}$

متوسط نوسانات آشتفتگی عرضی بی‌بعد

$W_s$

سرعت سقوط ذره رسوی

$w'$

نوسانات سرعت در جهت Z

$X$

فاصله از انتهای سازه‌ی تبدیل در جهت طول کanal

$y$

عمق جریان

$Y$

فاصله در جهت عرض کanal

$y_1$

عمق اولیه‌ی جریان

$y_{1d}$

عمق اولیه‌ی جریان در طراحی سازه‌ی تبدیل

$y_2$

عمق جریان در ابتدای بازه‌ی رسوی

$y_{2d}$

عمق جریان در انتهای بازه‌ی رسوی

## فهرست علامت‌ها

<u>علامت</u>	<u>توضیح</u>
$y_{2opt}$	عمق بهینه جریان پایین دست در طراحی سازه‌ی تبدیل
$y_{2r}$	عمق رژیم در جریان‌های دو بعدی
$y_c$	عمق بحرانی جریان
$y_j$	عمق جریان در ابتدای پرش هیدرولیکی
$y_n$	عمق نرمال جریان
$\hat{y}$	عمق جریان بی بعد
$v$	لرجه سینماتیکی
$\gamma$	وزن مخصوص سیال
$\gamma_s$	وزن مخصوص ذرات رسوب
$\rho$	چگالی سیال
$\rho_s$	چگالی ذرات رسوب
$\tau$	تش برشی واردہ از طرف سیال به ذرات رسوب
$\tau_c$	تش برشی در شرایط آستانه حرکت ذرات رسوب
$\mu$	لرجه دینامیکی
$\sigma_g$	انحراف معیار هندسی رسوبات
$\theta_c$	پارامتر شیلدز بحرانی
$\Delta$	وزن مخصوص مستغرق رسوب
$\Delta E$	افت انرژی
	نوزده

## چکیده

در مسائل هیدرولیکی فرسایش بستر یکی از مهم‌ترین عوامل مخرب به شمار می‌رود و کنترل آن در طراحی‌ها همواره مدنظر است. جریان پایین دست سازه‌های هیدرولیکی مانند کالورت‌ها، دریچه‌ها و سرریزها با عبور از بستر رسوی و فرسایش بستر در نزدیکی سازه، در بلند مدت موجب ناپایداری سازه می‌شود. از این رو محققین جهت طراحی هرچه بهتر سازه‌های هیدرولیکی به مدل‌سازی و بررسی آزمایشگاهی پدیده‌ی آب‌شستگی پرداخته‌اند. در این راستا در تحقیق حاضر به مدل‌سازی آزمایشگاهی، آب‌شستگی پایین دست سازه‌ی حذف پرش هیدرولیکی پرداخته شده است. بدین منظور یک سازه‌ی تبدیل جریان فوق‌بحراتی به زیربحراتی بدون وقوع پرش هیدرولیکی در مسیر جریان نصب شده و در شرایط هیدرولیکی مختلف، آب‌شستگی پایین دست این سازه مورد مطالعه قرار گرفته است. آزمایش‌ها در کاتالی به طول ۹/۵ و عرض ۰/۴ متر بر روی بستری از رسوبات یکنواخت شنی انجام شده‌اند. ۱۴ آزمایش در شرایط حذف پرش هیدرولیکی در سه عمق اولیه‌ی متفاوت و به ازای اعداد فرود مختلف در محدوده‌ی ۲/۰۵ تا ۲/۸۵ انجام شدند. محدوده‌ی اعداد فرود مورد بررسی بر اساس نتایج مطالعات پیشین انجام شده در زمینه‌ی حذف پرش هیدرولیکی انتخاب شد. علاوه بر آن دو آزمایش در شرایط وقوع پرش هیدرولیکی انجام شد. نتایج آزمایش‌ها نشان داد که در هر دو حالت وقوع و حذف پرش هیدرولیکی، بستر به صورت متقابل شسته می‌شود و حداکثر عمق آب‌شستگی در مجاورت دیواره‌ها اتفاق می‌افتد. در شرایط حذف پرش هیدرولیکی افزایش سرعت اولیه، عمق اولیه جریان و هم‌چنین عدد فرود چگالی ذرات منجر به افزایش ابعاد چاله‌ی آب‌شستگی از جمله حداکثر عمق، حداکثر طول چاله و نیز حداکثر ارتفاع تل ماسه می‌شود. در ادامه بر اساس پارامترهای هیدرولیکی و رسوی مؤثر بر حداکثر عمق چاله‌ی آب‌شستگی روابطی تجربی به منظور برآورد حداکثر عمق و طول چاله‌ی آب‌شستگی در حالت حذف پرش هیدرولیکی استخراج شد. با استفاده از نتایج حاصل از آزمایش‌های انجام شده و هم‌چنین مطالعات پیشین در زمینه‌ی آب‌شستگی پایین دست پرش هیدرولیکی، آب‌شستگی در حالت وقوع و حذف پرش هیدرولیکی مقایسه شد. نتایج تحلیل‌های مربوطه نشان داد که علی‌رغم مشابه بودن سازوکار و روند تغییرات زمانی آب‌شستگی در دو حالت وقوع و حذف پرش، قدرت فرسایش جریان در حالت حذف پرش هیدرولیکی به طور قابل ملاحظه‌ای کم‌تر از حالت وقوع پرش است، اما با افزایش عدد فرود قدرت فرسایش جریان در حالت حذف و قوع پرش به یکدیگر نزدیک می‌شود.

**کلمات کلیدی:** پرش هیدرولیکی، سازه‌ی حذف پرش هیدرولیکی، آب‌شستگی و آشفتگی جریان

## فصل اول

### مقدمه

#### ۱-۱ مقدمه

از آنجا که حیات همه‌ی موجودات زنده متأثر از منابع آبی است، شناخت طبیعت و قوانین رفتاری آب، امکان مدیریت منابع آبی را برای انسان فراهم آورده است. مدیریت منابع آبی در رسیدن به اهداف خود به سازه‌ها و تجهیزاتی به منظور فعالیت‌هایی از قبیل ذخیره، انتقال و استفاده از انرژی آب نیازمند است. طراحی مطلوب این سازه‌ها و تجهیزات، منوط به شناخت هرچه بیشتر پدیده‌های هیدرولیکی است که در اثر اندرکنش سازه‌ها و آب اتفاق می‌افتد. البته تاکنون مطالعات زیادی نیز در این زمینه صورت گرفته است. در همین راستا در این تحقیق به بررسی آزمایشگاهی پدیده‌های منتج از احداث سازه‌ای خاص در مسیر جریان پرداخته می‌شود.

در پایین دست برخی از سازه‌های هیدرولیکی رژیم جریان فوقبحرانی، معمولاً به صورت طبیعی و یا با برقراری شرایطی مصنوعی، در طی پدیده‌ای موسوم به پرش هیدرولیکی، به رژیم زیربحرانی تبدیل می‌شود. در سال ۱۳۸۹ ربیعی سازه‌ی تبدیلی را پیشنهاد کرد که با افزایش تدریجی تراز بستر امکان این تغییر رژیم را بدون وقوع پرش هیدرولیکی به وجود می‌آورد [۱]. در صورت قرار گیری این سازه در مسیر جریانی با بستر رسوی، انرژی جریان عبوری از این تبدیل صلب، در برخورد با بستر غیر صلب، سبب فرسایش بستر می‌شود. از آنجا که در طراحی ایمن سازه‌های هیدرولیکی، پیش‌بینی حداکثر عمق آب‌شستگی امری ضروری است، بررسی آب‌شستگی در پایین دست سازه‌ی تبدیل جریان فوقبحرانی به زیربحرانی بدون وقوع پرش هیدرولیکی، موضوعی است که در این تحقیق به صورت آزمایشگاهی مطالعه شده است.